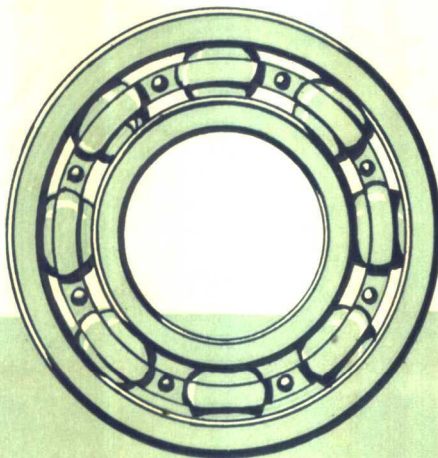


P.M. 馬特維耶夫斯基 著



仪表滚珠轴承 摩擦的研究

机械工业出版社

仪表滚珠轴承摩擦的研究

P.M. 馬特維耶夫斯基 著

周开仕、吳波合譯



机械工业出版社

1958

这本小册子研究小电机滚动轴承在液体和固体合成油和润滑油中工作时，其摩擦力矩的测定问题。提出了用惯性旋转法测量滚动轴承摩擦力矩的方法，以及静摩擦和动摩擦的研究结果。在这本小册子中还叙述了有关温度（-30—+180°C）对滚动轴承用的某些润滑油的润滑作用的影响的研究试验。

这本小册子可供仪表制造厂的工程技术人员以及机械制造科学研究机关的工作人员参考。

苏联 Р.М.Матвеевский ‘Исследование трения в приборных шарикоподшипниках’ (Государственное научно-техническое издательство машиностроительной литературы 1957年第一版)

№ 1931

1958年6月第一版 1958年6月第一版第一次印刷

787×1092 1/32 字数27千字 11/4印张 0,001—2,500册

机械工业出版社(北京东交民巷27号)出版

机械工业出版社印刷厂印刷 新华书店发行

北京市书刊出版业营业登记证字第008号

定价(10)0.22元

目 录

緒言	4
慣性旋轉法	5
用慣性旋轉法測量仪表滾珠軸承摩擦力的方法	11
用實驗法測定仪表滾珠軸承在不同的潤滑劑潤滑和 低温中的動摩擦力矩和起動摩擦力矩	20
動摩擦力矩的測定	21
起動摩擦力矩的測定	28
轉速和潤滑油的粘度對仪表滾珠軸承摩擦力矩值的影響	30
溫度對某些仪表滾珠軸承潤滑油的潤滑性能的影響	34
參考文獻	40

緒 言

关于仪表滚珠轴承在各不相同的工作条件下，由于构件（轴承环、滚珠、分珠环）相互作用和与润滑剂相互作用所产生的摩擦力問題，还没有充分地研究，也没有科学的論証。这是因为滚珠轴承结构的多样性和其构件的运动过程复杂，因而有很多因素影响轴承工作时的摩擦力。这些因素中的基本因素是：轉动速度，运动构件滑动和滚动間的关系，載荷，轴承零件的加工和装配質量，潤滑剂粘度，軸承中的潤滑油量及其他。

在文献中，很少有关于这些参数对运动中的滚珠轴承摩擦力矩值的影响的試驗資料；已有的資料只是个别类型的轴承在特定的潤滑、載荷和轉动速度条件下的資料。对于滚动轴承在低温中的研究工作进行得还很少，这种工作的特殊意义在于了解对潤滑剂的物理-化学性能的影响（潤滑剂随温度的降低而有显著的变化）。显然，滚珠轴承在低溫度中工作时，其摩擦力急剧增加，而且有时候（特别是在仪表滚珠轴承中）这些摩擦力的大小就决定了整个机构或仪表的工作性能。

作者在苏联科学院机械研究所耐磨实验室所完成的此著作中，叙述了用慣性旋轉法来测定仪表滚珠轴承靜摩擦力矩和动摩擦力矩的方法。动摩擦力矩和起动摩擦力矩，是利用一种仪表用的滚珠轴承在固定載荷下，但用不同的潤滑剂潤滑及在不同的低温中测定的。在运转試驗中闡明了油量对仪表滚珠轴承摩擦力矩的影响。并根据實驗数据确定了研究型式的滚珠轴承中的摩擦力矩，轉动速度和潤滑油粘度間的實驗关系。此外，借助于四滾珠机上的實驗，研究出低温和高温对多种滚珠轴承矿物油潤滑性能的影响。

慣性旋轉法

首先提出用慣性旋轉法来研究轴承和軸套摩擦的是潤滑流体动力学理論的奠基者 H. II. 彼特罗夫 [1]，他也提出了按这种方法来創制机器以測定轴承摩擦力的主張 [2]。在1884年迪浦里利用慣性旋轉法来測定电机（此电机是为第一次實驗电能远距离輸送而制造的）的旋轉阻力 [3]。在 1899 年迪特馬尔 [4] 根据彼特罗夫的觀念制造了測定滑动轴承摩擦損失的机器。

彼特罗夫-迪特馬尔机不仅可用来測定滑动轴承中的摩擦，而且也可用作不同等級的潤滑剂的比較試驗 [5]。直到現在这种机器仍为摩擦實驗室和高等技术学校应用力学的教材 [6]。在列宁格勒工业大学摩擦實驗室，利用这种机器进行大量的研究工作，以測定各种潤滑剂在不同形式的油槽中对滑动轴承的影响 [1]。

札依采夫教授用慣性旋轉法測定了滾珠轴承中的摩擦和旋轉圓盤的空气阻力。比尔和鲍丁用这种方法測定了不潤滑和潤滑表面的摩擦系数 [7]。拉可夫和索柯洛夫借助慣性 旋轉法研究了大气真密度对滑动轴承摩擦力大小的影響 [8]。苏联科学院机械研究所，也會根据这一方法进行測定低温中仪表滾珠轴承摩擦力矩的工作 [9]。慣性旋轉法就是在其他 技术領域也得到应用。例如，用来測定船舶、火車、汽車的运动阻力以及研究潤滑油的潤滑性能 [10]。

慣性旋轉法与其他測定机器內部固有損失的方法相比，其主要优点在于：傳动裝置和工作机构断开后，机器不受任何輔助測量裝置或机构的額外影响。运动依慣性进行，且运动亦仅

由机器本身的內摩擦和空气阻力而使之停止。慣性旋轉法的缺点为摩擦力矩的測定是当机器在不稳定的工作条件下进行的。然而用这种方法測定小型精密滾珠軸承的摩擦力矩是頗有价值的。这种滾珠軸承的摩擦力矩（就其絕對值而言是 极 其 微 小 的，用克·公厘或克·公分度量）既是判断仪器精度的数值，有时还是确定仪表的使用可能性的数值。所以在研究小型滾珠軸承时，用一般测力法是不好的，因为用这种方法会引起誤差，这种誤差对于測定很大的数值时，还沒多大的影响，而在这里却远远超出了容許范围。

轴承旋轉时的摩擦力矩与很多因素有关，其中包括載荷、速度、温度、潤滑油量、滾珠軸承結構参数。小型滾珠軸承的載荷一般都不大，而且在工作時間內是保持不变的。在某些情况下，温度和潤滑油量可認為是不变的。旋轉速度是仪表結構中变化最大的参数，而且也可能达到很高的数值（高达 $n = 30000$ 轉/分）。所以重要的是探討轴承摩擦力矩与速度的关系。

在慣性旋轉时，旋轉系統的运动方程式可表之为

$$J \cdot \frac{\omega^2}{2} = M_{con p} \cdot \varphi,$$

式中 J ——系統的轉动慣量，克·公分·秒²；

ω ——角速度，1/秒；

$M_{con p}$ ——在慣性旋轉中，旋轉系統的摩擦力矩，克·公分；

φ ——轉角，弧度。

在无限小的时间內，动能的减少将等于摩擦力矩在 dt 时间內轉动一角度所作的功，故可表示为

$$J \cdot \omega \cdot d\omega = M_{con p} \cdot d\varphi.$$

因 $\omega = \frac{d\varphi}{dt}$, 将其代入, 并約掉 $d\varphi$ 后得

$$J \cdot \frac{d\omega}{dt} = M_{con p} \text{ 或 } J \cdot \omega = J \varepsilon = M_{con p}, \quad (1)$$

式中: $\varepsilon = \dot{\omega} = \frac{d\omega}{dt}$ 。

因此, 在慣性旋轉中, 旋轉系統任一瞬間的總摩擦力矩等於該系統對旋轉軸的轉動慣量與該系統在此瞬間的角加速度的乘積。

假設 $M_{con p} = F(\omega)$,

則 $J \cdot \omega = F(\omega)$ 。

$F(\omega)$ 的形式須用實驗確定, 但也可從理論的設想出發而預先擬定。例如其中一個設想即: 用慣性旋轉法研究旋轉系統時, 摩擦在不同的結合元件中可能有不同的特性, 因而在一種結合中, 或在一種情況下, 它與速度無關, 在另一種情況下可能與速度成比例, 而在第三種情況下可能與速度平方成比例。因此假設在慣性旋轉中旋轉系統的摩擦特性適合於拋物線方程:

$$-J \cdot \dot{\omega} = p + k \cdot \omega + r \cdot \omega^2, \quad (2)$$

式中旋轉系統的總摩擦力矩由下列各項組成:

- 1) 與角速度無關的常數 p ;
- 2) 與角速度線性變化有關的數值為 $k \cdot \omega$;
- 3) 與角速度平方有關的數值為 $r \cdot \omega^2$ 。

按照這一方法, 在方程式中包括有不同的各項, 然後積分得表示摩擦力矩的式子。

1. 定摩擦的情況下(軸承在低轉數中的摩擦)。

当 $r = 0$ 和 $k = 0$ 时。方程式 (2) 变为

$$J \cdot \dot{\omega} + p = 0. \quad (3)$$

定摩擦力矩

$$M_{conp} = -p = -\frac{J \cdot \omega_0}{T}, \quad (4)$$

式中 ω_0 ——惯性旋转初角速;

T ——惯性旋转总时间。

2. 摩擦力矩与速度为线性关系的情况下（这种单纯的情况是可能的，例如，用涡流来制动旋转质体时）。

当 $r = 0$ 和 $p = 0$ 时，(2) 式就成

$$J \cdot \dot{\omega} + k \cdot \omega = 0. \quad (5)$$

对角速度（从 ω 到 ω_0 ）和时间（从 0 到 t ）进行积分，得

$$k = -\frac{J}{t} \ln \frac{\omega}{\omega_0};$$

将此系数代入 (5) 中，得摩擦力矩为

$$M_{conp} = \frac{J}{t} \omega \ln \frac{\omega}{\omega_0}. \quad (6)$$

3. 摩擦力矩与速度的平方变化有关时（当空气阻力是主要的阻力时）。

当 $k = 0$ 和 $p = 0$ 时，(2) 式就成：

$$J \cdot \dot{\omega} + r \cdot \omega^2 = 0. \quad (7)$$

与第二种情况一样的方式积分，得

$$r = \frac{J}{t} \left(\frac{1}{\omega} - \frac{1}{\omega_0} \right),$$

从而

$$M_{conp} = -\frac{J}{t}\omega^2 \left(\frac{1}{\omega} - \frac{1}{\omega_0} \right)。 \quad (8)$$

4. M_{conp} 为速度线性变化与速度平方变化的函数 ($p=0$)

$$J \cdot \dot{\omega} + k \cdot \omega + r \cdot \omega^2 = 0。 \quad (9)$$

在这种情况下，不能直接求解，对时间积分得出与 ω 和 ω_0 以及与常数有关的方程式：

$$\frac{1}{\omega} - \frac{1}{\omega_0} = \left(e^{\frac{k \cdot t}{J}} - 1 \right) \cdot \left(\frac{1}{\omega_0} + \frac{r}{k} \right)。 \quad (10)$$

5. M_{conp} 为速度线性变化的函数并与方程式的常数项有关 ($r=0$)

$$J \cdot \dot{\omega} + k \cdot \omega + p = 0。 \quad (11)$$

对时间积分得出与 ω 、 ω_0 以及与常数有关的方程式：

$$t = \frac{J}{k} \ln \frac{k \cdot \omega_0 + p}{k \cdot \omega + p}。 \quad (12)$$

6. M_{conp} 为速度平方变化的函数并与常数项有关 ($k=0$)

$$J \cdot \dot{\omega} + r \cdot \omega^2 + p = 0。 \quad (13)$$

积分并整理后得

$$t = \frac{J}{\sqrt{r \cdot p}} \arctg \frac{\sqrt{r \cdot p}(\omega_0 - \omega)}{p + r \cdot \omega \cdot \omega_0}。 \quad (14)$$

7. 一般情况下：

$$J \cdot \dot{\omega} + p + k \cdot \omega + r \cdot \omega^2 = 0。$$

此方程式有三种解，它取决于常数 r 、 p 和 k 间的关系：

$$a) r \cdot p - \frac{k^2}{4} = 0; \quad t = \frac{J}{\frac{k}{2} + r \cdot \omega} - \frac{J}{\frac{k}{2} + r \cdot \omega_0}; \quad (15)$$

$$6) r \cdot p - \frac{k^2}{4} > 0;$$

$$t = \frac{J}{\sqrt{r \cdot p - \frac{k^2}{4}}} \operatorname{arctg} \frac{(\omega_0 - \omega) \cdot \sqrt{r \cdot p - \frac{k^2}{4}}}{p + r \cdot \omega \cdot \omega_0 + \frac{k}{2} (\omega_0 + \omega)} \quad (16)$$

若(16)式中的 $k=0$, 则得相当于第六种情况的特解
〔见(14)式〕。

$$B) r \cdot p - \frac{k^2}{4} < 0;$$

$$t = \frac{J}{2 \sqrt{\frac{k^2}{4} - r \cdot p}}$$

$$\ln \frac{r \cdot \omega \cdot \omega_0 + \frac{k}{2} (\omega_0 + \omega) + p + \sqrt{\frac{k^2}{4} - r \cdot p} (\omega_0 - \omega)}{r \cdot \omega \cdot \omega_0 + \frac{k}{2} (\omega_0 + \omega) + p - \sqrt{\frac{k^2}{4} - r \cdot p} (\omega_0 - \omega)} \quad (17)$$

若(17)式中的 $p=0$ 或 $r=0$, 则得相当于第4和第5种情况的特解〔见(10)和(12)式〕。

因此, 表示摩擦力矩与旋转速度关系所沿用方程式(2)的全部可能的解法中, 只在前三种简单的情况下直接分析了 M_{conp} 与运动方程式常数间的关系。方程式(10), (12)和(14)借助于对数及其他运算方法, 可用图解确定常数值(p 、 k 、 r)。但这个方法很麻烦, 又不十分精确, 因此, 我们在这里不作介绍。摩擦力矩与速度的关系就一般的情况(15, 16, 17式)而言, 通常不可能用图解法得解。

上述解析法之所以不十分精确和可靠是因为根据(2)式中所取的函数关系本身是任意作出的。判断(2)式的应用可能性是根据摩擦力矩与速度的实验关系曲线, 但不能证实摩擦力矩与角速度的抛物线性关系, 这将在以后说明(见30页)。

用慣性旋轉法測量儀表滾珠軸承摩擦力的方法

根據對〔10〕，〔11〕式的一系列研究，可以認為，在轉速不大時，摩擦實際上與速度無關。

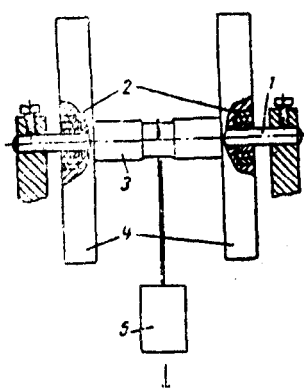


圖 1 測定低轉速儀表滾珠軸承摩擦力矩用的儀器示意图

對於低轉速滾珠軸承的摩擦力矩，可用圖 1 所示的儀器來測量。在兩個支承中，有一固定不動的軸 1，裝入軸套 3 中的試驗軸承 2 就裝在此軸上，軸套端部有兩個載荷盤 4。軸套中部的繩上懸有重物 5。這樣，軸套 3 在重物作用下，就使軸承對固定軸 1 轉動。繩繞在滾筒上。這個滾筒既小又輕，且安裝（裝在小型精密軸承上）精細，因而可以認為滾筒對測量沒有影響。借助重物 5

使軸套產生初加速度，軸套在重物作用下旋轉一整圈後，重物即自動脫開。達到相當速度後，軸套 3 就同圓盤 4 一起按慣性而運動，直到完全停止。加速度結束到軸套完全停止之間的時間，正是所指的慣性旋轉時間。在慣性旋轉中，軸套的初速根據下列論點分析確定之（圖 2）。設

J ——軸套同圓盤對旋轉軸的轉動慣量（克·公分·秒²）；

G ——重物的重量（克）；

r ——軸套半徑（繩繩於其上）（公分）；

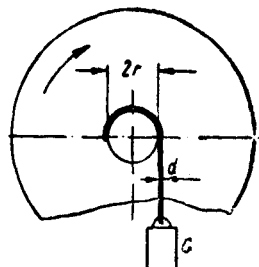


圖 2

d ——繩之直徑（公分）；

φ ——軸套轉角（弧度）；

M_T ——兩滾珠軸承的固定摩擦力矩（克·公分）。

重物 G 的轉動力矩等於 Gh ，

其中， $h = \left(r + \frac{d}{2} \right)$ ——力臂。

在這種情況，慣性旋轉的運動方程式為

$$J \cdot \ddot{\omega} = G \cdot h - M_T, \quad (18)$$

式中

$$\dot{\omega} = \frac{d\omega}{dt}.$$

因摩擦力矩取為常數，所以 $\frac{G \cdot h - M_T}{J} = k$ 也是一个常數，

故 (18) 式成為

$$\omega = k.$$

對時間積分，得

$$\omega = k \cdot t + c = \frac{G \cdot h - M_T}{J} t + c.$$

為了確定常數 c ，而引用起始條件。當 $t = 0$ ； $\omega = 0$ 時，

則 $c = 0$ 。因此 $\omega = \frac{G \cdot h - M_T}{J} t$ ；同理可得轉角的大小 $\varphi = \frac{k \cdot t^2}{2}$

$= \frac{G \cdot h - M_T}{2J} t^2$ ，因為積分常數在起始條件處等於零。

為了求得軸套在起動終了時亦即軸套旋轉一圈後的角速度，應從 φ 和 ω 兩式中消除 t 。結果我們得到轉動軸套的起動終速或慣性旋轉初速的公式。

$$\omega_0 = \sqrt{\frac{2\varphi(G \cdot h - M_T)}{J}} \text{ 或 } \omega_0 = 2\sqrt{\frac{\pi(G \cdot h - M_T)}{J}},$$

因为軸套轉一圈的轉角 $\varphi = 2\pi$ 弧度。 M_T 若与 $(G \cdot h)$ ~~值比較~~
其值很小，在速度公式中就可将它忽略。

結果 $\omega_0 = 2\sqrt{\frac{\pi \cdot G \cdot h}{J}}.$ (19)

試驗軸承的摩擦力矩值可以从固定摩擦的慣性旋轉运动方
程式 (3) 中求得

$$J \cdot \omega = -M_{consp}.$$

此式的解为公式 (4)

$$M_{consp} = -\frac{J \cdot \omega_0}{T},$$

式中 ω —慣性旋轉初速；

T —慣性旋轉時間。

代入 ω_0 的計算值后，可得低轉速滾珠軸承的摩擦力矩公式

$$M_{consp} = \frac{2}{T} \sqrt{\pi \cdot G \cdot h \cdot J}. \quad (20)$$

去掉 M_{consp} 前的負号是因为它不会改变結果的性質。

实际上，每一試驗軸承副在軸套中經 10~15 次的起動和
慣性旋轉試驗后，根据所給公式即能計算出每一慣性旋轉時間
的摩擦力矩值。将所得的全部摩擦力矩值平均之，用所得平均
值作为試驗軸承副的摩擦力矩值。值得注意的是，当确定不同
潤滑油膜强度时，計算上述波尔拉格和勃洛克四滾珠回轉体的
摩擦力矩也是用类似的方法来进行的(10)。

高轉數滾珠軸承的摩擦力在轉速变化时，不能作为常数。
根据公式 (1) $M_{consp} = J\varepsilon$ ，为了确定轉動摩擦力矩，就必须
知道任何瞬間的角速度的減速值，換言之或者要知道 $\varepsilon = \psi(t)$

的关系。 ϵ 值可由系統在慣性旋轉過程中的角速度的降低程度求得。因此，問題在於畫出 $\omega-t$ 曲綫，实际上这并不困难。

苏联科学院机械研究所曾設計过一种仪器，以使用慣性旋轉法来测定高轉速仪表滾珠軸承的摩擦力矩。仪器的结构及試驗方法在 M.H. 布青的著作 [9] 中有詳細說明。这里我們繪有仪器的示意图（图 3），并简单地介紹其工作原理。

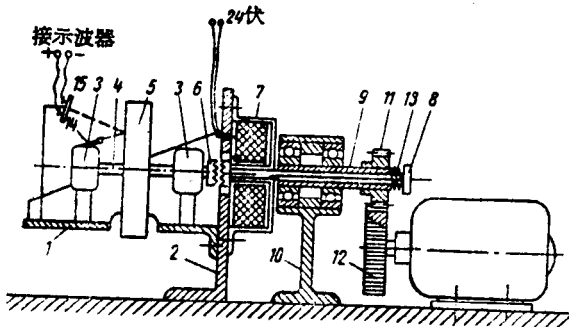


图 3 用慣性旋轉法測定高轉速仪表滾珠軸承
摩擦力矩的仪器示意图

固定在底座 2 上的支架 1 上装有支承 3，在支承上安装試驗軸承。飞輪 5 固定在軸 4 上并随同軸 4 在此軸承中轉動。軸承外环由专门的螺帽（图中沒画出）擰紧。在軸4的一端牢固地装有端面带爪的接头 6。在底座 2 的另一边，固定有带鐵壳的电磁鐵綫圈 7，其直流电源的电压为24伏。綫圈內面装有軟鐵作的可动鐵心 8，鐵心的一端装有与軸 4 相同的端面带爪的接头，用来与軸套 6 連接，而另一端伸出綫圈，軸套 9 即装于其上，鐵心只能在軸向有相对位移。軸套 9 固定在支承10中的两滾珠軸承上，在軸套 9 的自由端的齒輪11通过齒輪12由馬达来带动旋轉。当电磁鐵綫圈 7 通电时，随同軸套 9 一起轉動的鐵心 8 被綫圈向里吸引，軸套端面的爪得以搭上，軸4即被带动而旋

轉。飞輪 5 因傳動的变化可得不同的轉数(3000~24000轉/分)。

飞輪达到所需的轉数后，电磁鐵綫圈的电源就被断开，綫圈放开鐵心，鐵心在彈簧13(位于鐵心与軸套 9 間)的作用下，很快的与接头 6 离开，其时，飞輪系統 5 仅受慣性力的作用而轉动。用下述方法記錄仪器飞輪的轉数。将飞輪端面的一半涂成黑色，另一半磨光，直到有足够的反射能力为止。光源14和与示波器回綫联接的硒光电管15固定在支架 1 上。由飞輪磨光面反射的光綫，当它每轉一圈时就射到光电管上而产生电冲，电冲借光电管傳給示波器回綫。这种方法能保証在示波带上記錄下系統在慣性旋轉过程中飞輪的轉数。

当慣性旋轉时间長时，記錄总轉数实际上并不方便，因为当慣性旋轉时间相当长的話，就要消耗大量的示波带。因此可采用周期記錄轉数的办法。为此，旋轉系統在慣性旋轉过程中，要恰好在記錄的时间內接通示波器。每次記錄的持续时间可达 1~2 秒。图 4 就是这种周期記錄仪器飞輪轉数变化的实

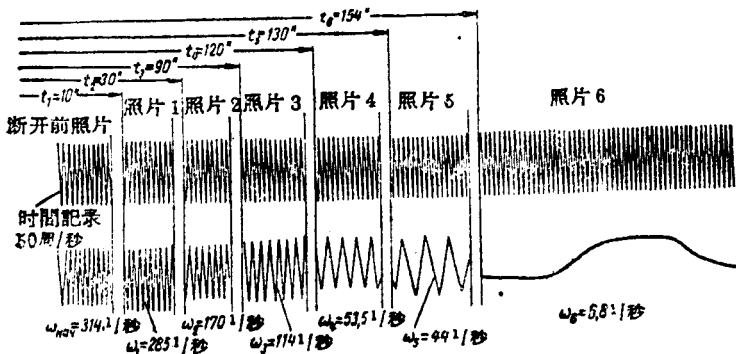


图 4 用示波器周期記錄慣性旋轉中的仪器飞輪轉数变化的范例
 潤滑剂-MBII; $h=25$ 公忽 (h 为潤滑剂油膜层的厚度——譯者); 試驗溫度 $t=38.5^{\circ}\text{C}$; 慣性旋轉時間—2分38秒; t_1, t_2, t_3, t_4, t_5 和 t_6 —从开始慣性旋轉到开始进行周期記錄飞輪轉数变化的时间

际记录。带上所记录的光电管电冲次数就是飞轮系统 5 的转数，根据同一波形图上时间回线的记录，知道示波带运动纪录的延续时间（秒和秒的小数），就容易求得此很短时间内角速度平均值。如此的周期记录方法，能在惯性旋转时间内，保证得到足够用以绘制 $\omega-t$ 曲线的角速度值，而且消耗示波带也不太多。

沿纵坐标轴的一旁注上 ω 值，沿横坐标轴注上示波器在接通中的周期延续时间和记录本身的周期延续时间，得到 $\omega-t$ 曲线，图 5a 为其示意图。微分其图形后，得 $\epsilon-t$ 曲线，其纵坐标的比例 $K_\epsilon = \frac{K_\omega}{K_t}$ 即角加速度值。此曲线可看作是 $M_{comp}-t$ 曲线，相应曲线的纵坐标比例 $K_M = JK\epsilon$ 即表示所试验的惯性旋转系统在任意选定的瞬间内的摩擦力矩值。 J 为系统对转轴的转动惯量，是仪器的常数。它可根据公式 $J = \sum m \cdot r^2$ 计算确定；式中， m —旋转物体单位体积的质量， r —单位体积到旋转中心的距离，同时也可用扭转实验法测定之（例如用双线悬挂法）。

从 $\omega-t$ 和 $M_{comp}-t$ 曲线上消去 t ，就很易于得到更能作为表征的 $M_{comp}-\omega$ 曲线。从示意图 5a 中看出，在 $M_{comp}-t$ 曲线上可以很容易地确定与 $\omega-t$

曲线上任一角速度值相应的摩擦力矩值。这样用给与 ω 值得到 M_{comp} 值的方法，就能绘出 $M_{comp}-\omega$ 关系曲线，图 5b 即其示

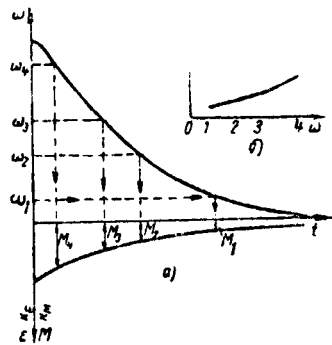


图 5 a—角速度和角加速度对时间的关系曲线；b—摩擦力矩对角速度的关系曲线